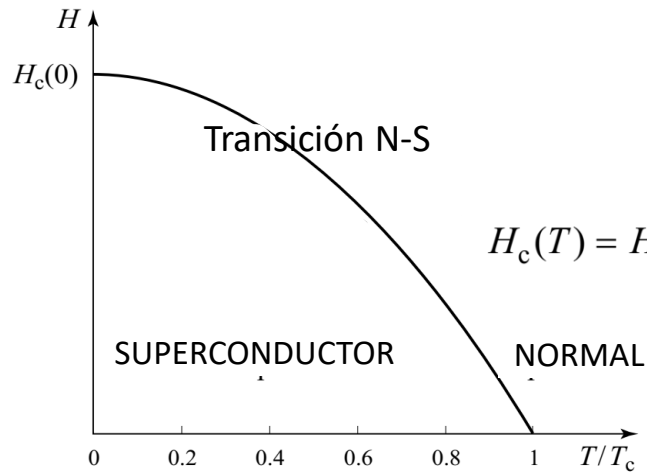


Termodinámica, transición SN y estado intermedio

La transición normal-superconductor (N-S)



$$H_c(T) = H_c(0) \left[1 - \left(\frac{T}{T_c} \right)^2 \right]$$

$$\Delta s = \begin{cases} 0 & \text{en } T = T_c; (H_c = 0) \\ > 0 & \text{si } T < T_c; (H_c(T) > 0) \end{cases} \longrightarrow \begin{cases} \text{1er orden si } T < T_c \\ \text{2do orden si } T = T_c \end{cases}$$

$$g_N(T, H) - g_S(T, H) = \frac{\mu_0}{2} (H_c^2(T) - H^2)$$

$$\Delta s = \mu_0 H_c(T) H_c(0) \frac{T}{T_c^2}$$

$$\Delta c = 2\mu_0 T \frac{H_c^2(0)}{T_c^2} \left[1 - 3 \left(\frac{T}{T_c} \right)^2 \right]$$

$$\Delta c(T_c) = -4\mu_0 \frac{H_c^2(0)}{T_c}$$

Más allá del caballo esférico

Recordemos las condiciones del sistema ideal (caballo esférico) que acabamos de tratar:

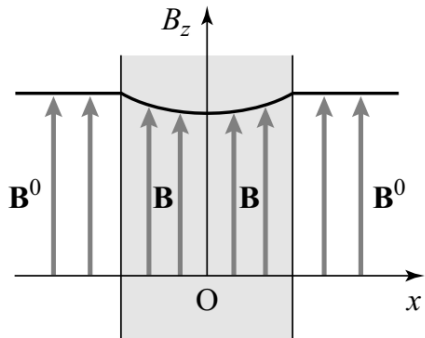
- 1a) No hay FD.
 - 1b) \bar{H} aplicado uniforme.
- } 1) \bar{H} es uniforme e igual al aplicado en todo el espacio.
- 2) Muestras macroscópicas ($\lambda_L \sim 0$ y $B = 0$ en el superconductor).
 - 3) No consideramos energías de pared N/S
 - 4) El sistema alcanza siempre el equilibrio: no hay configuraciones metaestables

Qué pasa si no se cumple la condición (2)?

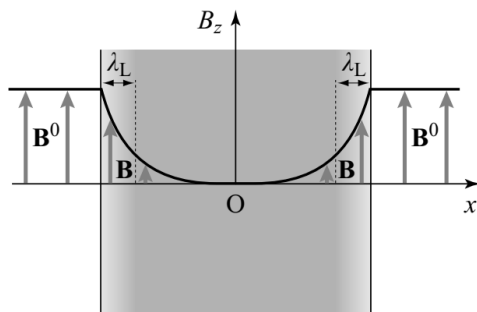
Veamos un ejemplo

Transición N-S en muestras con dimensiones nano/micrométricas

Ejemplo: slab de espesor $d \sim \lambda_L$ y area $A \gg d^2$ en campo $B^0 \hat{z}$ uniforme:



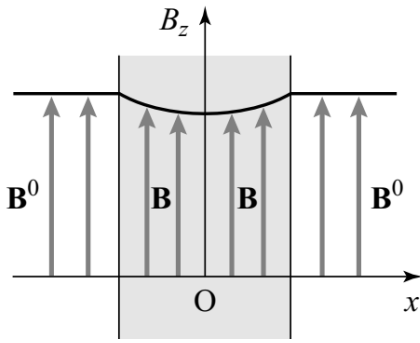
No hay FD, entonces: $H = H_0 = \frac{B^0}{\mu_0}$



	Estado S	Estado N
Adentro del SC:	$B_z(x) = B^0 \frac{\cosh\left(\frac{x}{\lambda_L}\right)}{\cosh\left(\frac{d}{2\lambda_L}\right)}$	$B_z = B^0$
Afuera:	$B_z = B^0$	$B_z = B^0$

Transición N-S en muestras con dimensiones nano/micrométricas

Ejemplo: slab superconductor infinito de espesor $d \sim \lambda_L$ y area $A \gg d^2$ en campo $B^0 \hat{z}$ uniforme:



Controlamos H , entonces nos interesa el minimo de la energía de Gibbs G .

$$dG = -SdT + Vdp - VBdH \quad \text{A } p \text{ y } T \text{ ctes: } dG = -V \overline{B} dH$$

promedios

$$dG = - \iiint_{\text{espacio}} \bar{B}(\vec{r}) \cdot d\bar{H}(\vec{r}) d^3r = -d\bar{H} \cdot \iiint_{\text{espacio}} \bar{B}(\vec{r}) d^3r$$

$$G(T, H_0) = G(T, 0) - \int_0^{H_0} \left[d\bar{H} \cdot \iiint_{\text{espacio}} \bar{B}(\vec{r}) d^3r \right]$$

En el estado N:

$$(V_{ext} + V)\mu_0 \bar{H} \quad V = Ad$$

$$G_N(T, H_0) = G_N(T, 0) - \int_0^{H_0} \left[d\bar{H} \cdot \iiint_{\text{espacio}} \bar{B}(\vec{r}) d^3r \right] = G_N(T, 0) - \mu_0 (V_{ext} + V) \int_0^{H_0} d\bar{H} \cdot \bar{H} = G_N(T, 0) - \mu_0 (V_{ext} + V) \frac{H_0^2}{2}$$

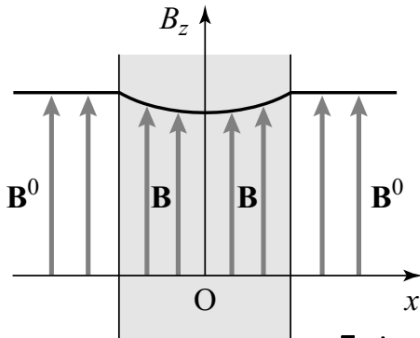
En el estado S:

$$G_S(T, H_0) = G_S(T, 0) - \mu_0 \frac{V_{ext}}{2} H_0^2 - A \int_0^{H_0} \left[dH \int_{-\frac{d}{2}}^{\frac{d}{2}} B(x) dx \right] = G_S(T, 0) - \mu_0 \frac{V_{ext}}{2} H_0^2 - \mu_0 \frac{A}{2} H_0^2 \int_{-\frac{d}{2}}^{\frac{d}{2}} \frac{\cosh \frac{x}{\lambda_L}}{\cosh \frac{d}{2\lambda_L}} dx$$

$$G_S(T, H_0) = G_S(T, 0) - \mu_0 \frac{V_{ext}}{2} H_0^2 - \mu_0 \frac{V}{2} H_0^2 \frac{\lambda_L}{d} \tanh \left(\frac{d}{2\lambda_L} \right)$$

Transición N-S en muestras con dimensiones nano/micrométricas

Ejemplo: slab superconductor infinito de espesor $d \sim \lambda_L$ en campo $B^0 \hat{z}$ uniforme:



$$G_N(T, H_0) = G_N(T, 0) - \mu_0(V_{ext} + V) \frac{H_0^2}{2}$$

$$G_S(T, H_0) = G_S(T, 0) - \mu_0 \frac{V_{ext}}{2} H_0^2 - \mu_0 \frac{V}{2} H_0^2 \frac{\lambda_L}{d} \tanh\left(\frac{d}{2\lambda_L}\right)$$

Recordemos: $G = F - \iiint_{\text{espacio}} \vec{B}(\vec{r}) \cdot \vec{H}(\vec{r}) d^3r \Rightarrow G(T, 0) = F(T, 0)$

Entonces: $G_N(T, H_0) - G_S(T, H_0) = F_N(T, 0) - F_S(T, 0) - \mu_0 V \frac{H_0^2}{2} + \mu_0 V \frac{H_0^2}{2} \frac{\lambda_L}{d} \tanh\left(\frac{d}{2\lambda_L}\right)$

Por unidad de volumen: $g_N(T, H_0) - g_S(T, H_0) = f_N(T, 0) - f_S(T, 0) - \mu_0 \frac{H_0^2}{2} \left[1 - \frac{\lambda_L}{d} \tanh\left(\frac{d}{2\lambda_L}\right)\right]$

Pero: $f_N(T, 0) - f_S(T, 0) = \mu_0 \frac{H_c^2}{2} \Rightarrow g_N(T, H_0) - g_S(T, H_0) = \mu_0 \frac{H_c^2}{2} - \mu_0 \frac{H_0^2}{2} \left[1 - \frac{\lambda_L}{d} \tanh\left(\frac{d}{2\lambda_L}\right)\right]$

En la transición: $0 = \mu_0 \frac{H_c^2}{2} - \mu_0 \frac{H_c^{*2}}{2} \left[1 - \frac{\lambda_L}{d} \tanh\left(\frac{d}{2\lambda_L}\right)\right] \Rightarrow \boxed{H_c^{*2} = \frac{H_c^2}{1 - \frac{\lambda_L}{d} \tanh\left(\frac{d}{2\lambda_L}\right)}}$

Más allá del caballo esférico

Recordemos las condiciones del sistema ideal (caballo esférico) que acabamos de tratar:

- 1a) No hay FD.
 - 1b) \bar{H} aplicado uniforme.
- } 1) \bar{H} es uniforme e igual al aplicado en todo el espacio.
- 2) Muestras macroscópicas ($\lambda_L \sim 0$ y $B = 0$ en el superconductor).
 - 3) No consideramos energías de pared N/S
 - 4) El sistema alcanza siempre el equilibrio: no hay configuraciones metaestables

Qué pasa si no se cumple la condición (1)?

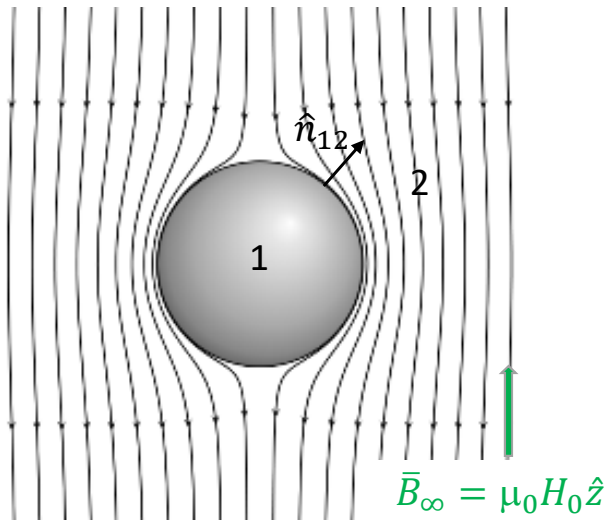
Estado Intermedio

\bar{H} no es uniforme en el espacio ocupado por la muestra \Rightarrow En algunas regiones H podría alcanzar H_c y en otras no?

Cuál es la solución en ese caso??

Veamoslo con un ejemplo: esfera superconductora macroscópica.

Recordemos que, en la solución para fase superconductora en estado Meissner:



$$\text{Afuera: } \bar{B}_2 = \mu_0 H_0 (\cos\theta \hat{r} - \sin\theta \hat{\theta}) + \frac{\mu_0 m}{4\pi r^3} [2 \cos\theta \hat{r} + \sin\theta \hat{\theta}]$$

$$\text{Adentro: } \bar{B}_1 = 0$$

$$\text{c.c: } \bar{B}_{2\perp}(r = R) = \bar{B}_{1\perp}(r = R) \Rightarrow m = -2\pi R^3 H_0$$

$$\langle \bar{M} \rangle = \frac{\bar{m}}{V} = -\left(\frac{3}{2}\right) H_0 \hat{z}$$

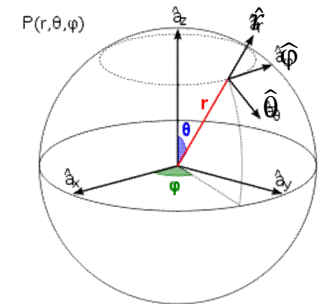
FD

$$\bar{H}_1 = -\bar{M} = \frac{3}{2} H_0 \hat{z} \neq \bar{H}_0$$

$$\Rightarrow H_1 = H_c \text{ cuando } H_0 = \frac{2}{3} H_c$$

Se vuelve normal en $\frac{2}{3} H_c$?

NO CIERRA!

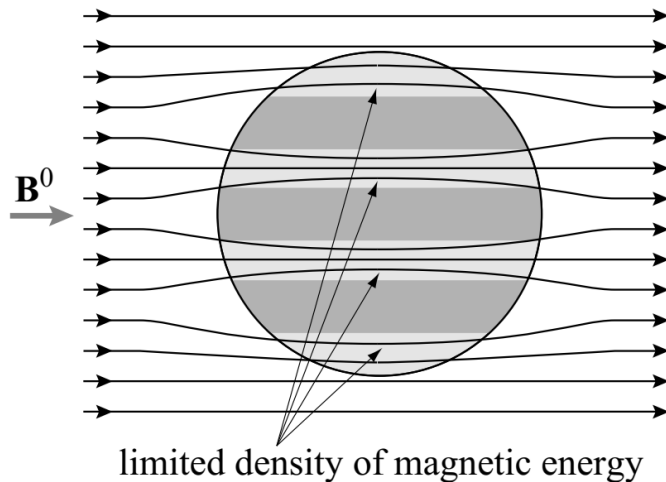


Coordenadas esféricas

Estado Intermedio

Las solución es el ESTADO INTERMEDIO: se forman regiones microscópicas alternadas N/S

El tamaño y la forma exacta de las regiones depende de energía de pared y centros de anclaje. En general la distribución tiene a minimizar la acumulación de líneas de campo.



Manguin- Kahn, *Superconductivity* (2017)

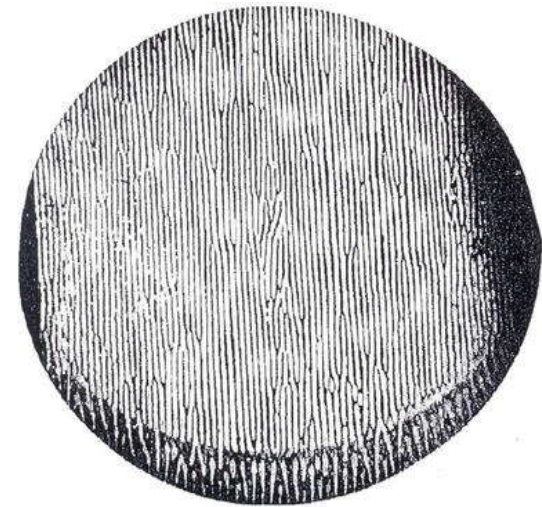
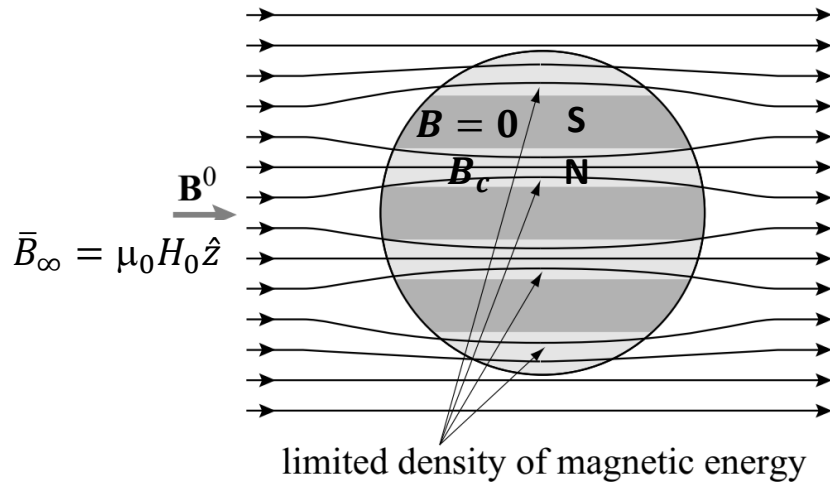


Imagen del estado intermedio en un disco de estaño macroscópico (0.5mm x 2 mm²). Y.V. Sharvin 1957

Estado Intermedio

Las solución es el ESTADO INTERMEDIO: se forman regiones microscópicas alternadas N/S



Al evitar el desvío de las líneas de campo se logra $H \cong H_c$

$B_c = \mu_0 H_c$ en las regiones normales y 0 en las superconductoras

Fracción normal $\rho_N = \frac{V_N}{V}$ $\langle B \rangle = \rho_N \mu_0 H_c = \mu_0 (H_c + \langle M \rangle)$

$$m = V \langle M \rangle = V \left[\frac{\langle B \rangle}{\mu_0} - H_c \right]$$

El problema afuera es nuevamente el de una esfera con $\vec{m} = m \hat{z}$

Afuera: $\vec{B}_2 = \mu_0 H_0 (\cos\theta \hat{r} - \sin\theta \hat{\theta}) + \frac{\mu_0 m}{4\pi r^3} [2 \cos\theta \hat{r} + \sin\theta \hat{\theta}]$

Adentro: $\vec{B}_1 = \langle B \rangle (\cos\theta \hat{r} - \sin\theta \hat{\theta})$

Planteando continuidad de $\vec{B}_\perp (r = R)$ resulta:

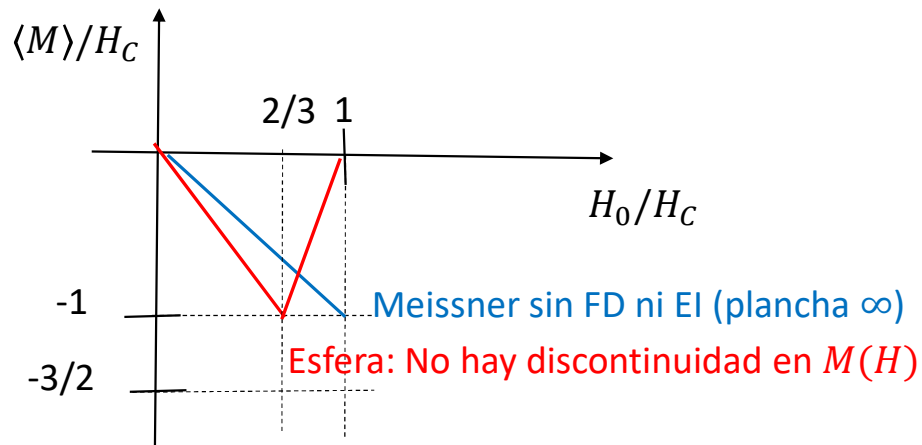
$$\langle B \rangle = \mu_0 [3H_0 - 2H_c] \Rightarrow$$

$$\left\{ \begin{array}{l} H_0 < \frac{2}{3} H_c : \rho_N = 0 \text{ y } \langle B \rangle = 0 \text{ S: Meissner} \\ H_0 > H_c : \rho_N = 1 \text{ y } \langle B \rangle = \mu_0 H_0 \text{ Normal} \\ \frac{2}{3} H_c < H_0 < H_c : \text{Estado Intermedio} \end{array} \right.$$

Estado Intermedio

Las solución es el ESTADO INTERMEDIO: se forman regiones microscópicas alternadas N/S

$$\left\{ \begin{array}{l} H_0 < \frac{2}{3}H_c : \rho_N = 0 \text{ y } \langle B \rangle = 0, \langle M \rangle = -H_c; \text{ S: Meissner} \\ H_0 > H_c : \rho_N = 1 \text{ y } \langle B \rangle = \mu_0 H_0, \langle M \rangle = 0; \text{ Normal} \\ \frac{2}{3}H_c < H_0 < H_c : \langle B \rangle = \mu_0 [3H_0 - 2H_c], \langle M \rangle = 3\mu_0 [H_0 - H_c]; \text{ Estado Intermedio} \end{array} \right.$$



Esto se generaliza:

- En geometrías reales no hay discontinuidad.
- Cuanto menor es el FD, $M(H)$ se parece más a un salto discontinuo cerca de H_c .
- La región Meissner se achica a medida que aumenta el FD

Estado Intermedio

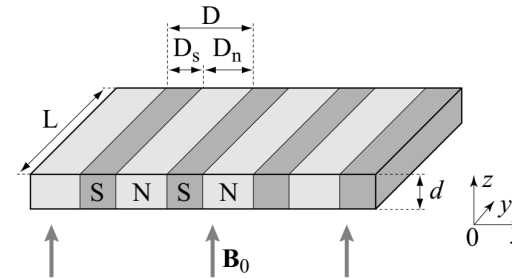
El tamaño típico de las regiones depende de la energía de pared N/S: γ (energía por unidad de área)

En los superconductores de tipo I: $\gamma > 0$.

Podemos adjudicar a esta energía una longitud característica $\delta(T)$, de forma que $\gamma(T) = \frac{\mu_0 H_C^2}{2} \delta(T)$

El modelo más sencillo propone una competencia entre γ y la energía magnética adicional debida a la contracción de las líneas de campo si los dominios son grandes y hay pocas paredes.

Ejemplo: plancha delgada “infinita” de ancho L y espesor $d \ll L$ en un campo perpendicular B_0 .

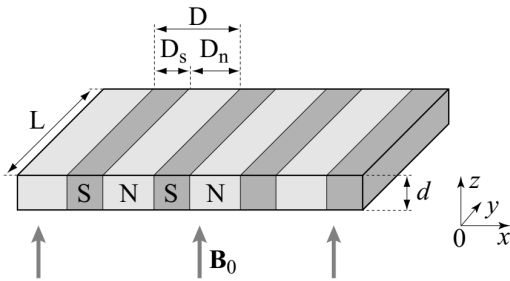


El FD es muy grande

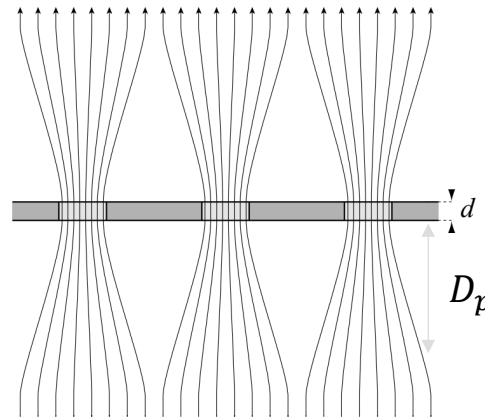
\Rightarrow hay Estado Intermedio aun a campos muy chicos

Estado Intermedio

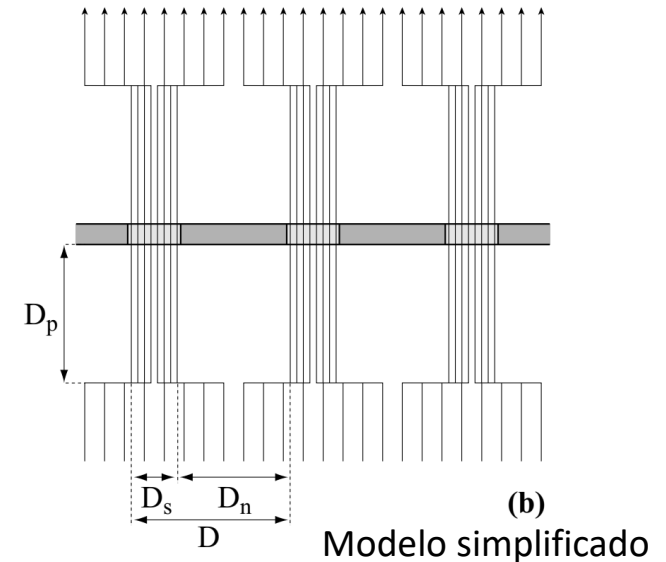
Ejemplo: plancha delgada en un campo perpendicular: hay Estado Intermedio aun a campos muy chicos



Manguin- Kahn, *Superconductivity* (2017)



El campo local toma el valor \bar{B}_0 en una distancia D_p .



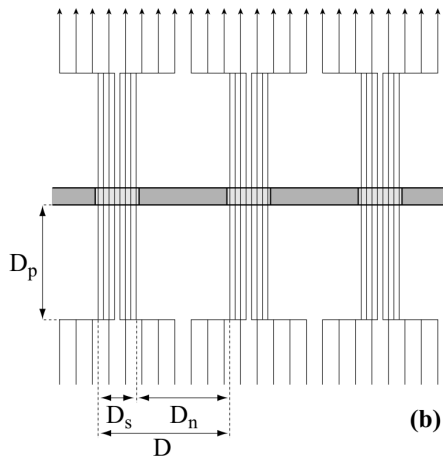
La energía de pared N/S por unidad de area es: $\gamma(T) = \frac{\mu_0 H_c^2}{2} \delta(T)$, donde $\delta(T)$ es el ancho de la pared, que asumimos mucho menor que D_s y D_n . El costo de energía de formar regiones por unidad de longitud será: $\epsilon_{\text{interface}} = \frac{2Ld\gamma}{D}$

Si el campo penetrase por completo uniformemente se minimizaria la energia magnetica y $B \sim B_0$.

Si se forman regiones, el modelo simplificado dice que en la region $\pm D_p$: $B \sim \mu_0 H_c$ en D_s y $B \sim 0$ en D_n

Estado Intermedio

Ejemplo: plancha delgada de ancho L en un campo perpendicular: hay Estado Intermedio aun a campos muy chicos



Modelo simplificado

$$\epsilon_{\text{interface}} = \frac{2Ld\gamma}{D} \quad \gamma(T) = \frac{\mu_0 H_c^2}{2} \delta(T)$$

La energía magnética con campo $B \sim B_0$ es:

$$\epsilon_{\text{mag 1}} = \frac{(B^0)^2}{2\mu_0} \frac{D(2D_p)}{D} L.$$

Al formarse regiones: $B \sim \mu_0 H_c$ en D_s y $B \sim 0$ en D_n , entonces:

$$\epsilon_{\text{mag 2}} = \frac{(B_c)^2}{2\mu_0} \frac{D_n(2D_p)}{D} L$$

La diferencia de energía magnética por unidad de longitud es:

$$\epsilon_{\text{mag}} = \epsilon_{\text{mag 2}} - \epsilon_{\text{mag 1}} = 2L \frac{(B_c)^2}{2\mu_0} \frac{D_n D_p}{D} \left[1 - \frac{D}{D_n} \left(\frac{B^0}{B_c} \right)^2 \right]$$

En este ejemplo se conoce B ! La conservación de flujo implica que la fracción normal β ($D_n = \beta D$) es tal que: $B^0 = \beta \mu_0 H_c$

Entonces:
$$\epsilon_{\text{total}} = \epsilon_{\text{interface}} + \epsilon_{\text{mag}} = 2L \left[\frac{d\gamma}{D} + D\beta^2(1-\beta)^2 \frac{\mu_0 H_c^2}{2} \right]$$

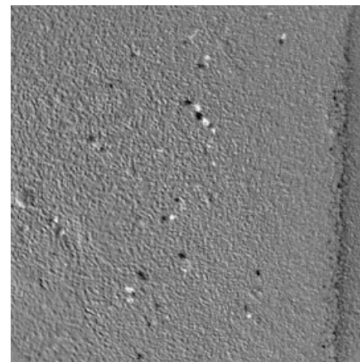
Minimizando respecto de D , resulta:
$$D = \frac{1}{\beta(1-\beta)} \sqrt{\frac{d\gamma}{(\mu_0 H_c^2)/2}} \quad D = \frac{1}{\beta(1-\beta)} \sqrt{d\delta}$$

Si $\beta = \frac{1}{2}$, $d = 2\text{mm}$ y $\delta \sim \xi \sim 500\text{nm}$: $D = 50 \mu\text{m}$

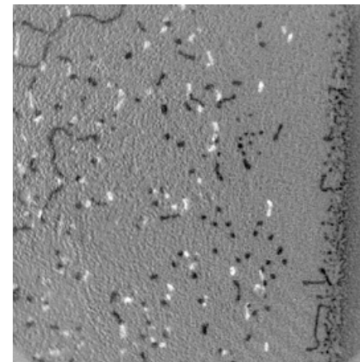
Estado Intermedio

Imágenes de MO tomadas por C. Gourdon et al.: Distribución de campo magnético en una película delgada de indio a $T = 1.9$ K a medida que aumenta el campo externo aplicado. Negro indica presencia de campo, y gris indica $B = 0$.

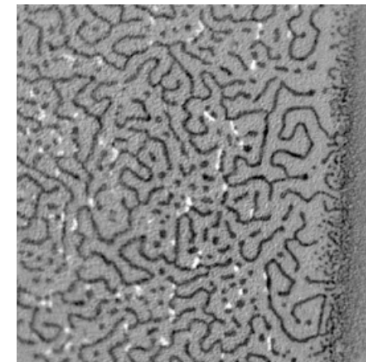
Manguin- Kahn, *Superconductivity* (2017)



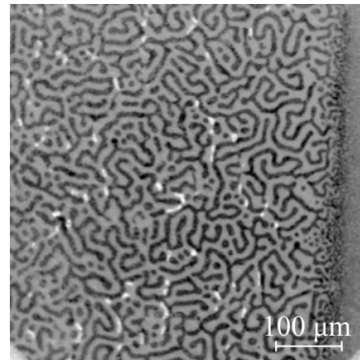
(a) $B = 0.53$ mT



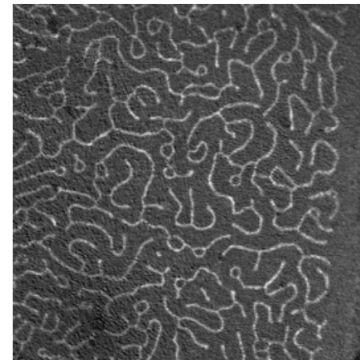
(b) $B = 1.13$ mT



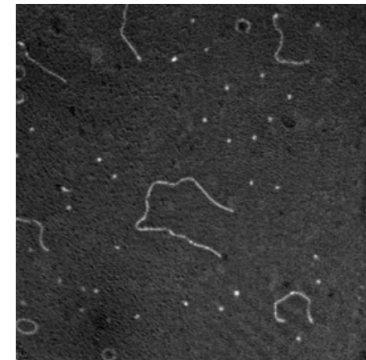
(c) $B = 3.64$ mT



(d) $B = 6.33$ mT



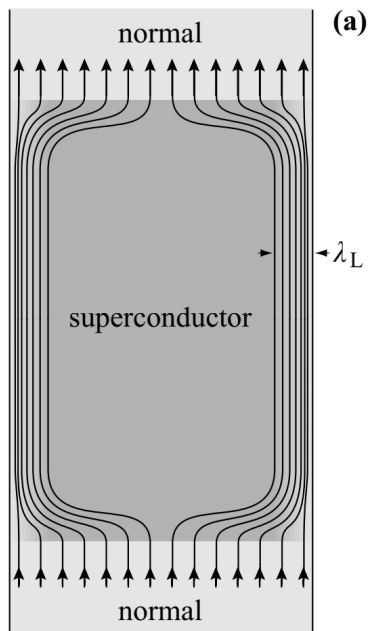
(e) $B = 13.35$ mT



(f) $B = 14.93$ mT

Estado Intermedio y transporte en un alambre superconductor

Cable superconductor, conectado a un conductor normal por el que circula una corriente I que se inyecta en el SC.



Manguin- Kahn, *Superconductivity* (2017)

Si I es suficientemente chica, el cable se mantiene SC. $B = 0$ salvo en un espesor alrededor de la superficie del orden de λ_L donde circulan corrientes superconductoras **no disipativas**.

Lejos del contacto con el conductor puedo considerarlo un cilindro infinito SC.

$$\bar{J} = J(r) \hat{z}, \bar{B} = B(r) \hat{\phi}$$

La solución afuera es el campo de un cable por el que circula una corriente I . (sale por Ampere):

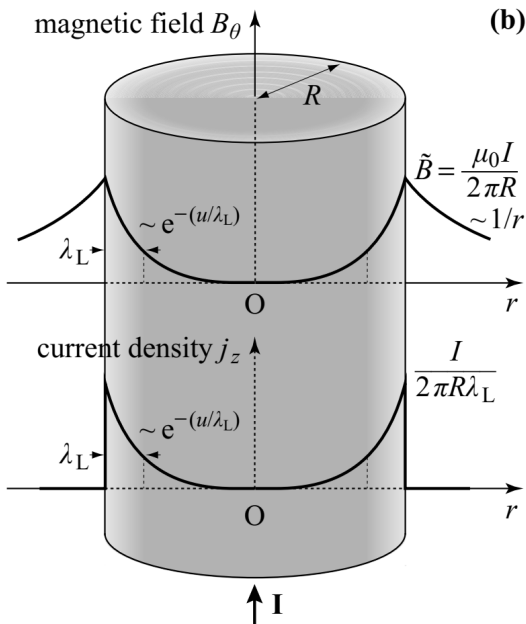
$$\bar{B}_{afuera} = \frac{\mu_0 I}{2\pi r} \hat{\phi}$$

Cual es la corriente crítica I_c a partir de la cual disipa?

Estado Intermedio y transporte de un alambre superconductor

Cable superconductor, conectado a un conductor normal por el que circula una corriente I que se inyecta en el SC.

Cual es la corriente crítica I_c a partir de la cual disipa?



Manguin- Kahn, *Superconductivity* (2017)

El campo generado por la corriente es máximo en el borde: $B(r = R) = \frac{\mu_0 I}{2\pi R}$

$$\Rightarrow \mu_0 H_c = \frac{\mu_0 I_c}{2\pi R}$$

$$I_c = 2\pi R H_c$$

$$J_c = \frac{I_c}{2\pi R \lambda_L}$$

$$J_c = \frac{H_c}{\lambda_L}$$

J_c depende del material, no depende de R .

En un cilindro macroscópico ($\lambda_L \sim 0$), por debajo de I_c , solo circularán corrientes superficiales $\vec{K}_s = K_s \hat{z}$.

$$\text{Contorno: } B(r = R) = \frac{\mu_0 I}{2\pi R} = \mu_0 K_s \Rightarrow K_s = \frac{I}{2\pi R}$$

$$K_c = \frac{I_c}{2\pi R} = H_c = J_c \lambda_L$$

- Para $I > I_c$ el cilindro no puede ser SC porque H no puede superar H_c y J no puede superar J_c . (K no puede superar $K_c = H_c$).
- Puede volverse normal todo el cilindro para corrientes mayores que I_c ?

Estado Intermedio y transporte de un alambre superconductor

Cable superconductor, conectado a un conductor normal por el que circula una corriente I que se inyecta en el SC.

$$I_c = 2\pi R H_c$$

$$J_c = \frac{H_c}{\lambda_L}$$

En un cilindro macroscópico: $K_c = \frac{I_c}{2\pi R} = H_c = J_c \lambda_L$

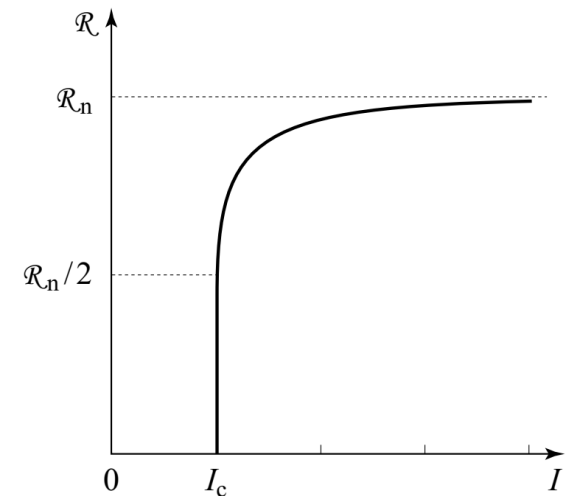
- $J_c = \frac{H_c}{\lambda_L}$ es la densidad de corriente crítica, y es una propiedad intrínseca del material.
- Para $I > I_c$ el cilindro no puede ser SC porque H no puede superar H_c (J no puede superar J_c)
- **Puede volverse normal todo el cilindro para corrientes mayores que I_c ? NO!**

Si el material se vuelve normal la corriente fluye uniforme $\Rightarrow J = \frac{I}{\pi R^2}$.

$$\text{Pero } J_{normal}(I_c) = \frac{I_c}{\pi R^2} = \frac{J_c (2\pi R \lambda_L)}{\pi R^2} = 2J_c \frac{\lambda_L}{R} \ll J_c$$

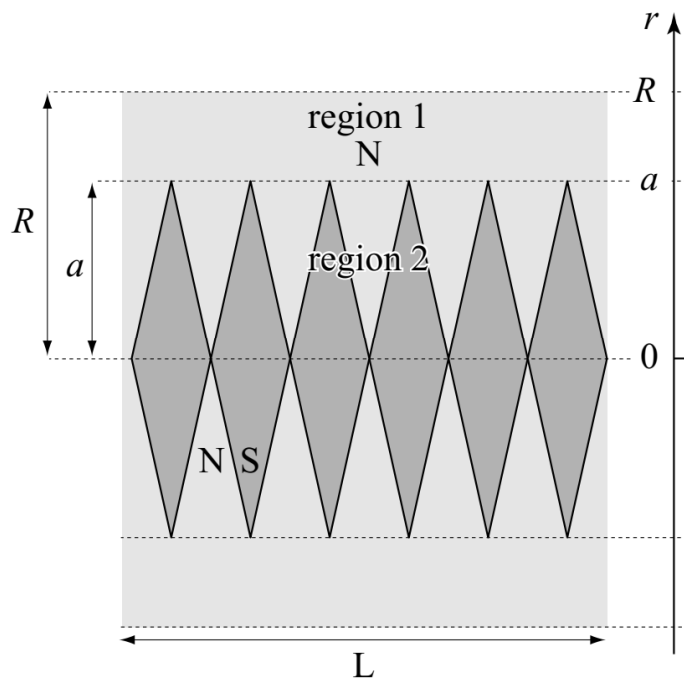
SOLUCION: Estado intermedio

Experimental: En $I = I_c$ la resistencia del alambre pasa de $\mathcal{R} = 0$ a $\mathcal{R} = \mathcal{R}_n/2$.
Luego sigue aumentando asintóticamente aproximándose al valor $\mathcal{R}_n = \rho_n L / \pi R^2$.

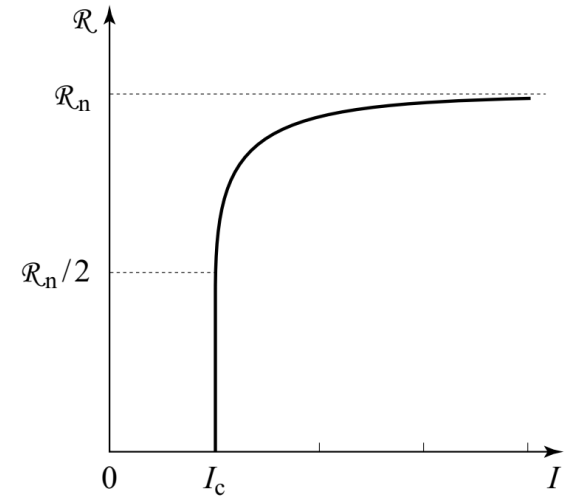


Estado Intermedio y transporte de un alambre superconductor

Una propuesta de EI que reproduce el resultado experimental:



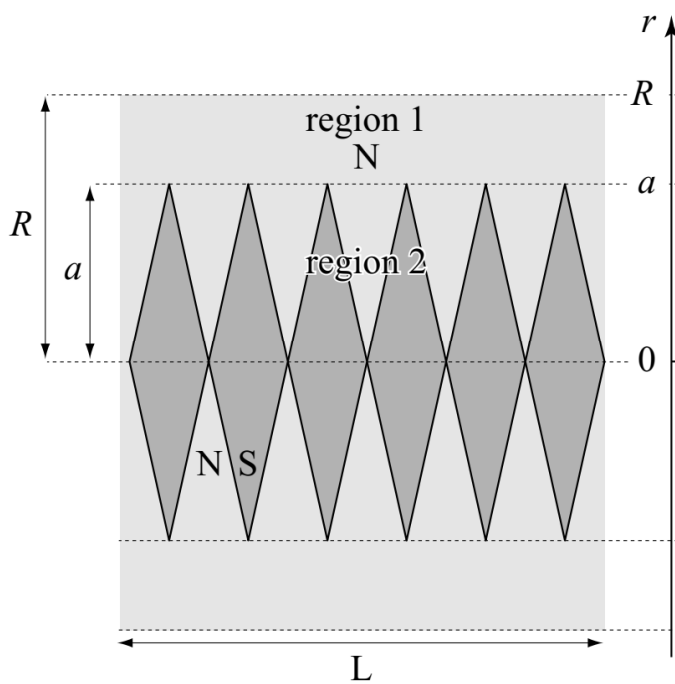
La corriente inyectada puede considerarse "libre" y es $\bar{J}_L = J(r) \hat{z}$. Hay corrientes inducidas que no contribuyen a \bar{J}_L ni a la corriente I de transporte



- La region 1 es normal $\Rightarrow J_1 = \sigma E$ homogénea: $I_1 = J_1 \pi(R^2 - a^2)$
- La region 2 está en EI $\Rightarrow H_2 = H_c$
- \Rightarrow En la region 2 el campo $B = 0$ en las zonas N y $B_2 = \mu_0 H_c$ en las S
- Por Ampere: $H(r) = \frac{I(r)}{2\pi r}$. Donde $I(r)$ es la corriente libre que circula a través del área interna $r' < r$. $\Rightarrow I_2(r) = 2\pi r H_c$

Estado Intermedio y transporte de un alambre superconductor

$H(r) = \frac{I(r)}{2\pi r}$. Donde $I(r)$ es la corriente libre que circula a través del area interna $r' < r$. $\Rightarrow I_2(r) = 2\pi r H_c$



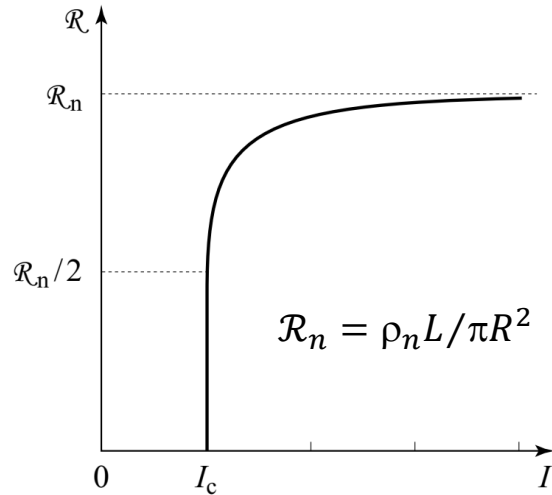
$$\Rightarrow dI_2(r) = 2\pi H_c dr = J_2(r) 2\pi r dr \quad \Rightarrow J_2(r) = \frac{H_c}{r}$$

- En la region 1: $I_1 = J_1 \pi (R^2 - a^2)$ y $J_1 = \sigma E$
 - En la región 2: $I_2(r) = 2\pi r H_c$ y $J_2(r) = \frac{H_c}{r}$
- } $\sigma E = \frac{H_c}{a}$

$$I = I_1 + I_2(a) = \pi \sigma E (R^2 - a^2) + 2\pi a H_c = \pi \sigma E (R^2 - a^2) + 2\pi a^2 \sigma E$$

$$I = \sigma E \pi R^2 + \sigma E \pi a^2 = \sigma E \pi R^2 \left(1 + \left(\frac{a}{R} \right)^2 \right) \quad \Rightarrow E = \frac{I}{\sigma \pi R^2} \left(\frac{1}{1 + \left(\frac{a}{R} \right)^2} \right)$$

Estado Intermedio y transporte de un alambre superconductor



$$I = \sigma E \pi R^2 \left(1 + \left(\frac{a}{R} \right)^2 \right) = \frac{H_c}{a} \pi R^2 \left(1 + \left(\frac{a}{R} \right)^2 \right)$$

$$E = \frac{I}{\sigma \pi R^2} \left(\frac{1}{1 + \left(\frac{a}{R} \right)^2} \right)$$

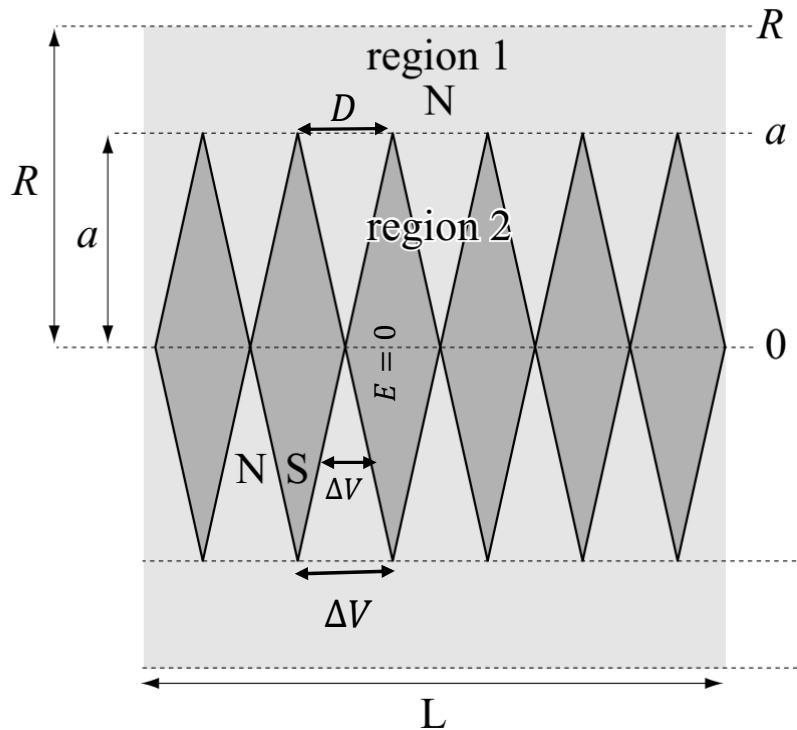
$$\mathcal{V} = EL = \frac{I \rho_n L}{\pi R^2} \left(\frac{1}{1 + \left(\frac{a}{R} \right)^2} \right) = I \mathcal{R}_n \left(\frac{1}{1 + \left(\frac{a}{R} \right)^2} \right)$$

$$\mathcal{R} = \frac{\mathcal{V}}{I} = \mathcal{R}_n \left(\frac{1}{1 + \left(\frac{a}{R} \right)^2} \right)$$

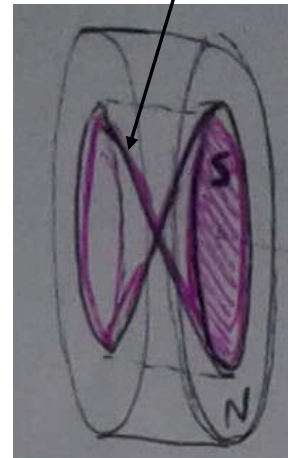
- Si $a = R$ (todo en estado intermedio): $I = 2\pi R H_c = I_c$ y $\mathcal{R} = \frac{\mathcal{R}_n}{2}$
- Si $a \rightarrow 0$, $I \rightarrow \infty$ y $\mathcal{R} \rightarrow \mathcal{R}_n$.

Estado Intermedio y transporte de un alambre superconductor

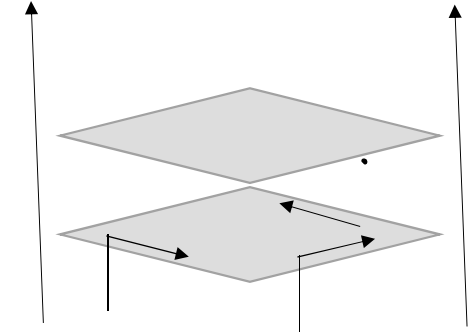
Entendiendo un poco mas este modelo:



Los conos forman superficies equipotenciales



En 3D



EJERCICIOS:

- Ver que se llega al mismo resultado
- Pensar cómo son las corrientes totales
- Qué pasa en presencia de un B externo?

- En la region 1: $E = \frac{\Delta V}{D}$
- En la región 2: $E(r) = \frac{\Delta V}{D} \frac{a}{r}$
- $J(a) = E(a)\sigma = \frac{E(a)}{\rho_n} = \frac{2H_c}{a}$